

บทที่ 1

บทนำ

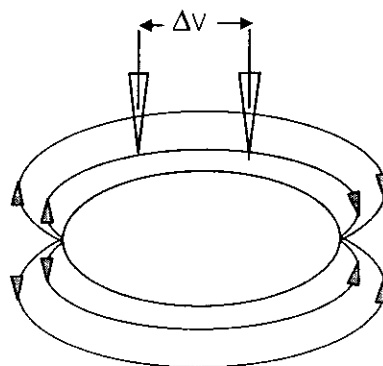
1.1 บทนำต้นเรื่อง

ในสิ่งแวดล้อม สารโลหะเป็นสารพิษกลุ่มใหญ่กลุ่มนี้ ที่เป็นอันตรายต่อสิ่งมีชีวิต อาจพบได้ตามธรรมชาติหรือจากโรงงานอุตสาหกรรม การเผาไหม้ของเชื้อเพลิงถ่านหิน อุตสาหกรรมเหมืองแร่และการถลุงแร่ สารโลหะส่วนมากมีคุณสมบัติในการเกิดพิษคล้ายคลึงกัน (ไมตรี, 2534) เช่น มีผลกระบทต่อการทำงานของเอนไซม์ การขับส่งออกซิเจนระหว่างเซลล์และกรดดีออกซีโรบินิวคลีอิก (DNA) ในโคโรโนม เป็นต้น ปัจจุบันสารโลหะที่สร้างปัญหาให้กับชุมชนและสิ่งแวดล้อมมากที่สุดคือ ปรอท ตะกั่ว แคนเดเมียม สารนูน นิเกิล เบอริลเลียม แบร์ยัม โครเมียม อะลูมิเนียม แมงกานีส เซลเนียมและพловัง (ไมตรี, 2534) โดยขบวนการเพิ่มความเข้มข้นทางชีววิทยา (bioconcentration) และห่วงโซ่ออาหาร (food chain) ทำให้ความเข้มข้นของสารพิษเพิ่มมากขึ้น ตามลำดับ ความเป็นพิษของสารพิษแต่ละชนิดขึ้นอยู่กับหลักภัยปัจจัย เช่น คุณสมบัติทางกายภาพ โครงสร้างทางเคมี ปริมาณสารพิษที่ได้รับ การเปลี่ยนแปลงของสารพิษภายในเซลล์ กลไกทางชีวเคมีและสภาวะแวดล้อมของเซลล์นั้นๆ

ในพืช สารโลหะบางชนิดมีผลต่อการเจริญเติบโต โดยจะมีผลในลักษณะที่แตกต่างกัน เช่น อะลูมิเนียม (Rout et al., 2001) มีผลกระทบต่อการแบ่งเซลล์บริเวณปลายรากและรากแขนง ทำให้มีการเปลี่ยนแปลงของโครงสร้าง หน้าที่ และการทำงานของผนังเมมเบรนของราก และทำให้เกิดการเปลี่ยนแปลงการลำเลียงธาตุที่จำเป็นบางชนิด ได้แก่ แคลเซียม เมกนีเซียม โพแทสเซียม พอสฟอรัสและเหล็ก ส่วนแคนเดเมียม (Das et al., 1997) เมื่อแพร์เซ้าสูซเซลล์ทำให้เซลล์ถูกทำลาย ทั้งทางด้านกายภาพและพันธุกรรม โดยยับยั้งการแบ่งเซลล์ (cell division) การเปลี่ยนแปลงโครโนม ทำให้ไม่ต่อคอนเดรียเดียสสภาพ การดูดซึมสารอาหารและน้ำลดลง

จากที่กล่าวมาแล้วจะเห็นว่าผลที่เกิดขึ้นมักจะเกี่ยวข้องกับการเปลี่ยนแปลงของการดูดซึมแร่ธาตุต่างๆ และการเจริญเติบโตหยุดชะงัก โดยทั่วไปเราดัดการเจริญเติบโตของพืช โดยวัดขนาดของลำต้นหรือส่วนสูงที่เพิ่มขึ้นและตรวจสอบปริมาณแร่ธาตุที่พืชดูดซึมเข้าไป โดยการนำพืชชนิดนั้นมาผ่านขั้นตอนการเตรียมตัวอย่าง โดยการเผาให้เป็นเถ้า (dry ashing) หรือย่อยเปียก (wet digestion) แล้ววิเคราะห์หาปริมาณสารโดยวิธีทางเคมี (มั่นและอมร, 2539) แร่ธาตุต่างๆ เหล่านี้จะถูกดูดซึมโดยราก ดังนั้นจึงมีความพยายามที่จะหาความสัมพันธ์ระหว่างการเจริญเติบโตและ

การดูดซึมแร่ธาตุต่างๆ เหล่านี้โดยวิธีอื่นในขณะที่พื้นที่ของอู่ระหว่างการเจริญเติบโต โดยพิจารณา ว่าในกระบวนการการเจริญเติบโตของพืช หนวยพื้นฐานของการเจริญเติบโตคือเซลล์ โดยเซลล์แต่ละ เซลล์จะถูกล้อมด้วยผนังเมมเบรน ซึ่งมีหน้าที่สำคัญอย่างหนึ่งคือ แยกสารละลายน้ำในเซลล์ออก จากภายนอกเซลล์ ทำให้อุ่นต่างๆ ภายในและภายนอกเซลล์มีความเข้มข้นต่างกัน ความ เข้มข้นที่ต่างกันนี้มีส่วนทำให้อุ่นชนิดต่างๆ เคลื่อนที่ผ่านผนังเมมเบรน การเคลื่อนที่ของอุ่น ต่างๆ เหล่านี้เรียกว่า พลักซ์ไออกอน (ion flux) หรือกระแสไฟฟ้าไออกอน ซึ่งเป็นกระแสไฟฟ้าคงตัว (steady ionic current) ปริมาณน้อยๆ ซึ่งเมื่อไอลผ่านไปในสารละลายน้ำที่ล้อมรอบเซลล์ จะทำให้ เกิดความต่างศักย์ระหว่างจุดสองจุดที่กระแสไฟฟ้าไออกอนไอลผ่าน



ภาพประกอบ 1 ความต่างศักย์ไฟฟ้า (ΔV) ภายนอกเซลล์เนื่องจากกระแสไฟฟ้าไออกอนที่ ไอลผ่านสารละลายนอกเซลล์

ดังนั้นหากวัดความต่างศักย์ไฟฟ้านี้ได้ก็สามารถคำนวณค่ากระแสไฟฟ้าไออกอนได้ โดย พิจารณาจากกฎของไอห์ม (Miller et.al, 1986)

$$\bar{J} = \frac{\bar{E}}{\rho}$$

$$\bar{E} = \frac{-\Delta V}{\Delta r} \hat{e}_E$$

$$\bar{J} = \frac{-\Delta V}{\rho \Delta r} \hat{e}_E$$

โดย

ดังนั้น

เมื่อ	\bar{J}	= ความหนาแน่นกระแสไฟฟ้า (A/m^2)
	\bar{E}	= สนามไฟฟ้า (V/m)
	ρ	= สภาพด้านทานของสารละลายน ($\Omega \cdot m$)
	Δr	= ระยะทางระหว่างอิเล็กโทรดทั้งสอง
	$\hat{\theta}_E$	คือเวกเตอร์หนึ่งห่วงในทิศทางของสนามไฟฟ้า
		เครื่องหมายลบ (-) แสดงว่าสนามไฟฟ้าจะมีทิศไปในทิศที่ศักย์ไฟฟ้าลดลง
		กระแสไฟฟ้าไอออน \bar{J} ที่ไหลผ่านสารละลายจะทำให้เกิดความต่างศักย์ไฟฟ้า ΔV และหาก Δr มีค่าน้อย สนามไฟฟ้าในระยะ Δr นี้จะมีค่าคงที่ นั่นคือเมื่อทราบค่าสภาพด้านทาน ρ จะสามารถคำนวณค่าความหนาแน่นกระแส \bar{J} ได้จากค่าความต่างศักย์ไฟฟ้า ΔV ที่วัดระหว่างจุดสองจุดที่อยู่ห่างกัน Δr และยิ่ง Δr เล็กลงเท่าใด ค่าความหนาแน่นกระแส \bar{J} ก็จะคำนวณได้ใกล้ค่าจริงมากขึ้น แต่ ΔV ที่วัดได้ก็จะลดลงเข่นกัน การวัด ΔV ส่วนใหญ่จะใช้ซิลเวอร์/ซิลเวอร์คลอรไდ อิเล็กโทรด ($Ag/AgCl$ electrode) ที่อยู่ในไมโครปิเพตแก้ว (glass micropipette) อิเล็กโทรดชนิดนี้ ส่วนใหญ่มีขีดจำกัดในการตรวจวัดประมาณ 10 ไมโครโกลต์ (Nuccitelli, 1983) ทำให้ไม่สามารถวัดความต่างศักย์ไฟฟ้าที่เกิดจากการกระแสไฟฟ้าไอออนปริมาณน้อยๆ ได้

ในปี ค.ศ.1974 Jaffe และ Nuccitelli ได้พัฒนาระบบไวเบรตติงprob (vibrating probe) ที่มีขีดจำกัดในการตรวจวัดต่ำกว่าอิเล็กโทรดธรรมดามากถึงประมาณ 1,000 เท่า ต่อมา Jaffe และ Nuccitelli (1977) ได้ใช้ระบบดังกล่าวศึกษากระแสไฟฟ้าไอออนในระบบต่างๆ ของห้องเซลล์พีช และสัตว์ พบร่วมกับการกระแสไฟฟ้าไอออนเกิดขึ้นในระบบที่มีการเจริญเติบโต

ในพืชระบบที่ศึกษากันมากคือราช (Jaffe, 1985; Weisenseel et al., 1979; Miller et al., 1986; Miller, 1989; Ryan et al., 1992) และເອີມບຣິໂອ (Rathore and Robinson, 1989; Thavarungkul, 1997) โดยการศึกษาເອີມບຣິໂອของปาล์มน้ำมัน (*Elaeis guineensis* Jacq.) (Thavarungkul, 1997) และເອີມບຣິໂອของເຄຣອທ (Rathore and Robinson, 1989) พบร่วมกันด้วยและทิศทางของกระแสไฟฟ้าจะมีการเปลี่ยนแปลงตามระยะการเจริญเติบโตของເອີມບຣິໂອ นอกจากราชแล้ว Rathore และ Robinson (1989) ยังพบว่าค่า pH ของสารละลายภายนอกเซลล์มีผลต่อการเจริญเติบโตของเซลล์

ในราชพืช Weisenseel และคณะ (1979) ศึกษาข้อบาร์เลย์ พบร่วมกับกระแสไฟฟ้ามีทิศเข้าสู่รากนรีเวนที่มีการยึดตัวและปลายราก กระแสไฟฟ้าจะมีทิศออกจากรากในบริเวณถัดไป Miller และคณะ (1986) ศึกษารากถัว (*Trifolium repens*. L.) และ Miller (1989) ยังได้ศึกษาราก

ข้าวโพดด้วย โดยพบว่ารูปแบบของกราฟไฟฟ้าไอออนจะคล้ายคลึงกับในข้าวบาร์เลอร์ และขึ้นอยู่กับการเปลี่ยนแปลงของค่า pH ของสารละลายนอก

นอกจากการเปลี่ยนแปลงของค่า pH แล้วการเปลี่ยนแปลงปริมาณของไอออนของโลหะบางชนิดจะมีผลต่อปริมาณไอออนที่ผ่านเข้าออกเซลล์ในสิ่งมีชีวิต เช่น ในสาหร่ายน้ำเดื้ม (*Chara corallina*) Takano และ Shimmen (1999) พบว่าเมื่อปริมาณไอออนของธาตุมิเนียมในสารละลายน้ำเพิ่มขึ้น จะทำให้ปริมาณไอออนที่ผ่านเข้าออกเซลล์ลดลง เช่นเดียวกับในราข้าวสาลี Ryan และคณะ (1992) พบว่าเมื่อราข้าวสาลีพันธุ์ Scout 66 ได้รับธาตุมิเนียม 10 ไมโครโมลาร์ pH 4.5 กราฟไฟฟ้าไอออนและการยึดของราขจะถูกยับยั้ง Ryan และคณะ (1992) เสนอว่ากราฟไฟฟ้าที่ตอบสนองต่อธาตุมิเนียมส่วนใหญ่เกิดจาก H^+ , Ca^{2+} และ Cl^- ที่พุ่งเข้าบีเวณปลายราข

จากที่กล่าวมาแล้วจะพบว่า กราฟไฟฟ้าไอออนจะเกิดขึ้นบีเวณที่มีการเจริญเติบโต ดังนั้นถ้าการเจริญเติบโตมีการเปลี่ยนแปลง กราฟไฟฟ้าไอออนที่เกิดขึ้นอาจเปลี่ยนแปลงด้วย ถ้าพืชถูกยับยั้งการเจริญเติบโตด้วยสารพิษ คาดว่าจะทำให้รูปแบบของกราฟไฟฟ้าไอออนเปลี่ยนแปลงไปจากเดิม หากทราบความล้มพัณฑ์ของรูปแบบกราฟไฟฟ้าไอออนกับการเจริญเติบโตจะช่วยให้รับสารพิษ อาจใช้รูปแบบกราฟไฟฟ้าไอออนเป็นตัวบ่งบอกความเป็นพิษในสิ่งแวดล้อมได้ งานวิจัยนี้จึงศึกษาผลของสารพิษบางชนิดต่อรูปแบบกราฟไฟฟ้าไอออนรอบๆ ราขทานตะวัน เนื่องจากทานตะวันเป็นพืชเศรษฐกิจ และจากการทดสอบเบื้องต้นในห้องปฏิบัติการพบว่า ทานตะวันใช้เวลาในการอกน้อย รากตรงและแข็งแรงเหมาะสมกับการศึกษาด้วยระบบไวนิลติง proc และสามารถวัดการเจริญเติบโตได้ง่าย โดยวัดความยาวของราขที่เพิ่มขึ้น ดังนั้นข้อมูลจากงานวิจัยอาจบอกถึงความสมพันธ์ของสารพิษกับการเจริญเติบโตและกราฟไฟฟ้าไอออนของราขทานตะวันเพื่อใช้เป็นตัวบ่งชี้ทางชีวิทยา (bioindicator) ในสิ่งแวดล้อมต่อไป

1.2 การตรวจเอกสาร

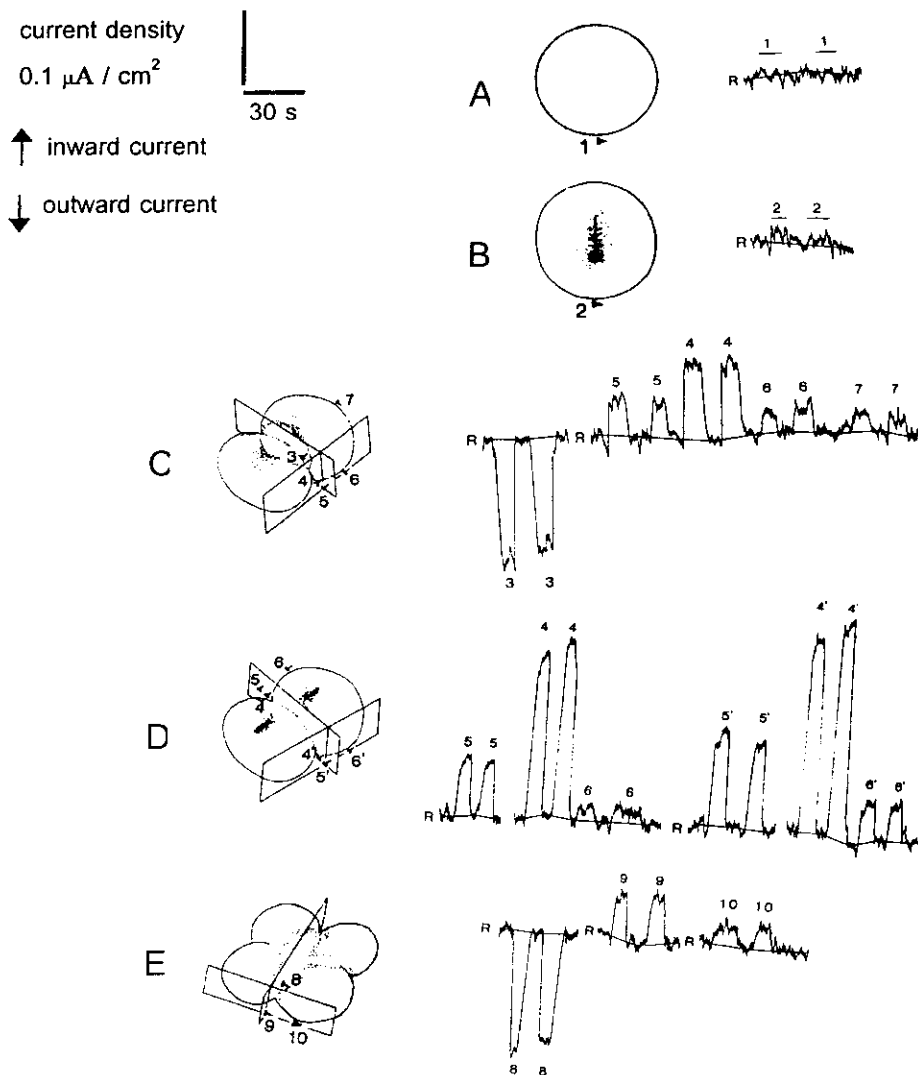
กราฟไฟฟ้าชีวภาพจากเซลล์หรือเนื้อเยื่อ ที่ในสิ่งแวดล้อมต่างๆ เช่นตัวเรือนติเมตร กราฟไฟฟ้าดังกล่าวสามารถวัดได้ โดยวัดความต่างศักย์ไฟฟ้าระหว่างจุดสองจุดที่กราฟไฟฟ้าไหลผ่าน แล้วจึงนำมาคำนวณหาค่ากราฟไฟฟ้า เนื่องจากกราฟไฟฟ้าที่เกิดจากเซลล์ของสิ่งมีชีวิตมีปริมาณน้อย ดังนั้นความต่างศักย์ที่เกิดขึ้นก็จะมีค่าน้อยด้วยเห็นแก้ อุปกรณ์ที่นำมาวัดค่ากราฟไฟฟ้าเหล่านี้ จึงต้องมีประสิทธิภาพสูง ในปี ค.ศ.1974 Jaffe และ Nucitelli ได้ประดิษฐ์อุดอุปกรณ์ไวนิลติง

เพื่อใช้วัดกราฟไฟฟ้าเหล่านี้ และพบว่าระบบไบเบรติงprobที่ประดิษฐ์ขึ้นสามารถวัดกราฟไฟฟ้าซึ่งภาพได้ถึงระดับ 10 นาโนแอมเปอร์ต่อตารางเซ็นติเมตร และได้ใช้ระบบดังกล่าวศึกษากราฟไฟฟ้าไอออนในระบบต่างๆ ทั้งของเซลล์สัตว์และเซลล์พืช

1.2.1 กราฟไฟฟ้าไอออนในเซลล์สัตว์

ในปี ค.ศ. 1983 Kline และคณะ ใช้ระบบไบเบรติงprobวัดกราฟไฟฟ้าไอออนที่ในล้านเซลล์ไข่ของกบ *Xenopus Laevis* ขณะเซลล์แบ่งตัวในระยะต่างๆ (ภาพประกอบ 2) พบว่า ก่อนการแบ่งเซลล์ครั้งแรก (first cleavage) เซลล์จะสร้างเมมเบรนใหม่ระหว่างชั้นเซลล์ เมื่อวัดกราฟไฟฟ้าไอออนบริเวณดังกล่าว (ภาพประกอบ 2B) พบรกราฟไฟฟ้าไอออนมีทิศเข้าสู่เซลล์ ด้วยขนาด 0.02 ± 0.02 (SD, n=22) ไมโครแอมเปอร์ต่อตารางเซนติเมตร และเมื่อเซลล์เว้าตัวแบ่งเซลล์ออกเป็นสองเซลล์ (ภาพประกอบ 2C) พบรกราฟไฟฟ้าไอออนมีทิศออกจากบริเวณเมมเบรนใหม่ ใกล้รอยต่อ กับเมมเบรนเก่า ด้วยขนาด 0.43 ± 0.26 (SD, n=29) ไมโครแอมเปอร์ต่อตารางเซนติเมตร (ภาพประกอบ 2C ตำแหน่ง 3) และกราฟไฟฟ้าไอออนมีทิศเข้าบริเวณชั้นเซลล์ทั้งสอง ด้วยขนาดที่น้อยกว่า จากนั้นเซลล์จะแบ่งตัวครั้งที่สอง (second cleavage) โดยสร้างเมมเบรนใหม่ระหว่างชั้นเซลล์ของเซลล์ใหม่ทั้งสอง (ภาพประกอบ 2E) และเว้าตัวแบ่งเซลล์ออกเป็นสี่เซลล์ใหม่ พบรกราฟไฟฟ้าไอออนมีทิศออกบริเวณเมมเบรนใหม่ด้วยขนาด 0.45 ± 0.15 (SD, n=10) ไมโครแอมเปอร์ต่อตารางเซนติเมตร (ภาพประกอบ 2E ตำแหน่ง 8) และกราฟไฟฟ้าไอออนมีทิศเข้าบริเวณเมมเบรนเก่า และชั้นเซลล์ของเซลล์ใหม่ เช่นเดียวกับการแบ่งเซลล์ครั้งแรก ต่อมา Overall และ Jaffe (1985) ได้วัดกราฟไฟฟ้าไอออนที่ในล้านไข่เมลงวนหลังจากปฏิสนธิ ในระยะต่างๆ พบว่า ระหว่างการเจริญเติบโตในระยะที่เยื่อสมออาหาร พบรกราฟไฟฟ้าไอออนมีทิศเข้าบริเวณส่วนหน้าของไข่ (anterior pole) ด้วยขนาด 10 ไมโครแอมเปอร์ต่อตารางเซนติเมตร และในระยะที่ไข่สร้างสร้างเนื้อเยื่อหุ้มตัวอยู่บนพบรกราฟไฟฟ้าไอออนขนาด 10 ไมโครแอมเปอร์ต่อตารางเซนติเมตร มีทิศเข้าบริเวณส่วนหลังของไข่ (posterior pole) และในปี ค.ศ. 1989 Sun และ Wyman ใช้ระบบไบเบรติงprob ศึกษารูปแบบกราฟไฟฟ้าไอออนรอบไข่ของเมลงวน (*Drosophila melanogaster*) ในระยะต่างๆ พบรกราฟไฟฟ้าไอออนขนาดแตกต่างกันทั้งทิศเข้า และทิศออกจากไข่ในแต่ละตำแหน่ง อาจกล่าวได้ว่าขณะเซลล์ไข่ปฏิสนธิและพัฒนาเป็นตัวอ่อน มีไอออนที่สำคัญบางตัวก่อให้เกิดกราฟไฟฟ้าไอออน และมีการเปลี่ยนแปลงขนาดและทิศทางตลอดระยะเวลาเจริญเติบโตของตัวอ่อน แต่มีรูปแบบกราฟไฟฟ้าไอออนคล้ายคลึงกันในแต่ละระยะของการเจริญเติบโต กล่าวคือ กราฟไฟฟ้าไอออนมีทิศเข้าบริเวณที่เซลล์กำลังเปลี่ยนแปลง

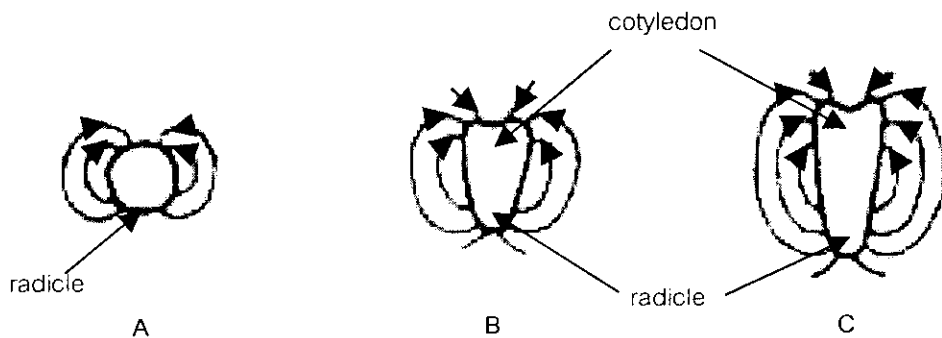
เข่น บริเวณเมมเบรนเก่าที่กำลังสร้างเมมเบรนใหม่ และกระแสไฟฟ้าไอโอนมีทิศออกบริเวณที่มีการเปลี่ยนแปลงเศรษฐีดั้น เข่น บริเวณเมมเบรนที่เกิดใหม่



ภาพประกอบ 2 กระแสไฟฟ้าไอโอนที่เหลพานเซลล์ไข่ของกบ ที่ทำແນ่งต่างๆ (แสดงเป็นตัวเลข) ขณะเซลล์แบ่งตัวในระยะต่างๆ A) ระยะก่อนการแบ่งเซลล์ B) ระยะเริ่มแบ่งเซลล์ครั้งที่ 1 C) ระยะระหว่างการแบ่งเซลล์ครั้งที่ 1 D) ระยะก่อนการแบ่งเซลล์ครั้งที่ 2 E) ระยะระหว่างการแบ่งเซลล์ครั้งที่ 2 (ภาพจาก Kline และคณะ, 1983)

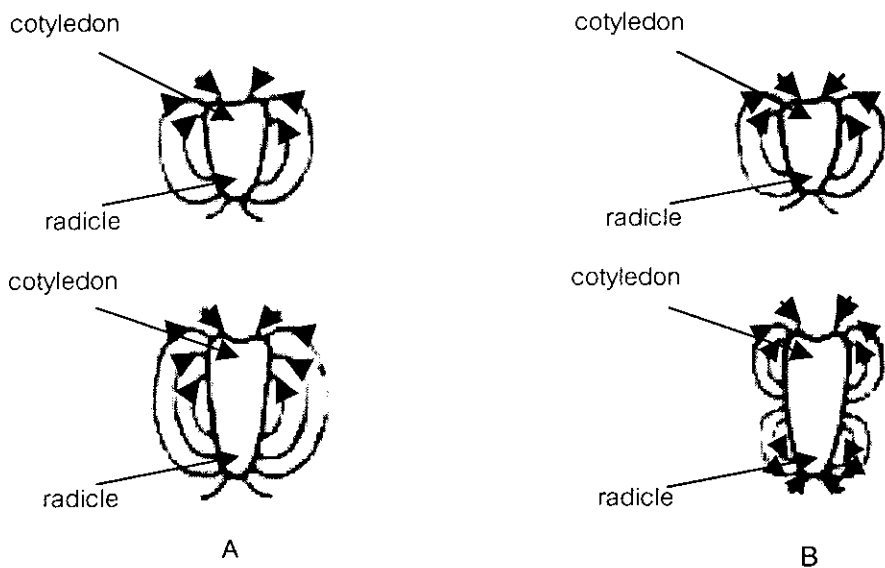
1.2.2 กระแสไฟฟ้าไออ่อนในพืช

ในการนี้ของพืช ระบบที่ศึกษา กันมากคือรากและเอ็มบริโอ Rathore และ Robinson (1989) ได้ศึกษารูปแบบกระแสไฟฟ้าไออ่อนในระยะต่างๆ ของการเจริญเติบโตของเอ็มบริโอ แครอท (ภาพประกอบ 3) ระยะแรกเอ็มบริโอมีรูปร่างเป็นทรงกลม (globular) (ภาพประกอบ 3A) จากนั้นพัฒนาเป็นรูปร่างคล้ายหัวใจ (heart) (ภาพประกอบ 3B) และรูปร่างคล้ายตอร์ปีโด (torpedo) (ภาพประกอบ 3C) ตามลำดับ พนว่ากระแสไฟฟ้าไออ่อนจะเปลี่ยนแปลงไปตามระยะการเจริญเติบโต ในระยะที่เอ็มบริโอมีรูปร่างเป็นทรงกลมนั้นกระแสไฟฟ้าไออ่อนมีทิศเข้าบวณที่จะเจริญเป็นยอดและมีทิศออกบวณที่จะเจริญเป็นราก (radicle) ในระยะที่เอ็มบริโอมีรูปร่างคล้ายหัวใจและตอร์ปีโด กระแสไฟฟ้าไออ่อนมีทิศเข้าสู่ใบเลี้ยง (cotyledon) และมีทิศออกจากบวณที่จะเจริญเป็นราก เมื่อเปรียบเทียบเอ็มบริโอมี 2 สายพันธุ์ที่มีอัตราการเจริญเติบโตต่างกันคือ สายพันธุ์ RCC 27 และสายพันธุ์ RCC 48 ที่เดิบโตเร็วกว่า พนว่าในระยะที่เอ็มบริโอมีรูปร่างคล้ายตอร์ปีโด มีความแตกต่างของรูปแบบของกระแสไฟฟ้าไออ่อน ในสายพันธุ์ RCC 27 กระแสไฟฟ้าไออ่อนมีทิศเข้าบวณที่ใบเลี้ยงและมีทิศออกจากบวณที่จะเจริญเป็นราก (ภาพประกอบ 4A) ในขณะที่สายพันธุ์ RCC 48 ที่เดิบโตเร็วกว่า นั้นกระแสไฟฟ้าไออ่อนมีทิศเข้าทั้งที่บวณที่ใบเลี้ยงและบวณที่จะเจริญเป็นรากและมีทิศออกจากตอนกลางของเอ็มบริโอมี (ภาพประกอบ 4B)



ภาพประกอบ 3 รูปแบบกระแสไฟฟ้าไออ่อนในระยะต่างๆ ของเจริญเติบโตของเอ็มบริโอด้วย

- (A) ระยะแรกเอ็มบริโอมีรูปร่างเป็นทรงกลม (B) ระยะมีรูปร่างคล้ายหัวใจ
 - (C) ระยะมีรูปร่างคล้ายตอร์ปีโด
- (ภาพจาก Rathore และ Robinson, 1989)



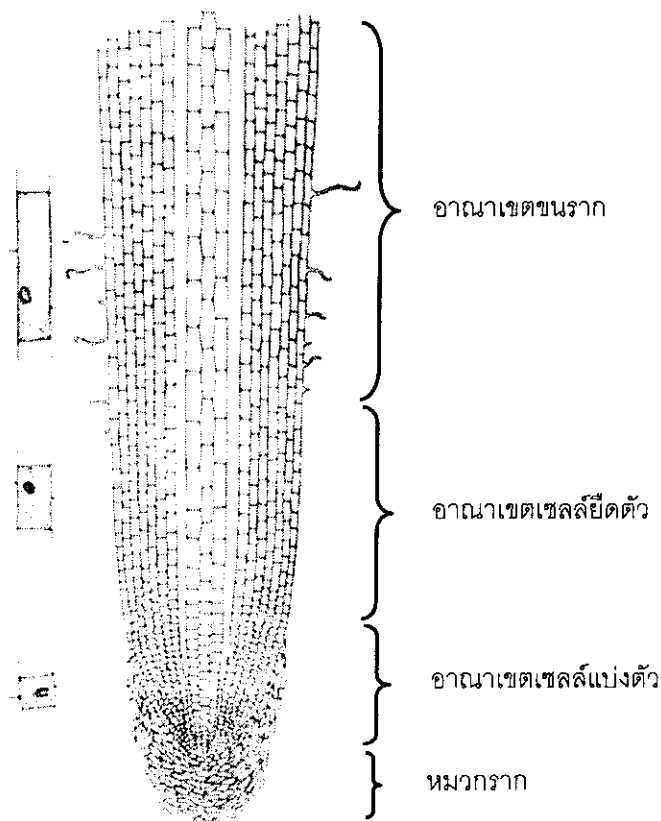
ภาพประกอบ 4 รูปแบบกราฟกระแสไฟฟ้าไออกอนของเอ็มบิโอดเรอทต่างสายพันธุ์

(A) สายพันธุ์ RCC 27 (B) สายพันธุ์เติบโตเร็ว RCC 48

(ภาพจาก Rathore และ Robinson, 1989)

ต่อมา Thavarangkul (1997) ได้ศึกษาฐานแบบกราฟกระแสไฟฟ้าไออกอนรอบๆ เอ็มบิโอดของปาล์มน้ำมัน (*Elaeis guineensis* Jacq.) ในระยะต่างๆ ของการเจริญเติบโต โดยในระยะแรก พบกราฟกระแสไฟฟ้าไออกอนขนาด 1.7 ± 1.0 ไมโครแอมเปอร์ต่อตารางเซนติเมตร มีทิศออกจากบริเวณที่จะเจริญเป็นราก และมีทิศเข้าสู่ไปเลี้ยงด้วยขนาด $0.3-0.8$ ไมโครแอมเปอร์ต่อตารางเซนติเมตร ต่อมานะในระยะที่ 2 ที่ใบเลี้ยงเริ่มขยายตัว พบกราฟกระแสไฟฟ้าไออกอนมีทิศออกจากบริเวณที่จะเจริญเป็นราก เช่นเดียวกับระยะที่ 1 แต่มีขนาดมากกว่าคือ 2.5 ± 1.5 ไมโครแอมเปอร์ต่อตารางเซนติเมตร และในระยะที่ 3 เมื่อเอ็มบิโอดขยายตัวใหญ่ขึ้น พบว่าฐานแบบกราฟกระแสไฟฟ้าไออกอนที่พบจะแตกต่าง จากระยะที่ 2 คือกราฟกระแสไฟฟ้าไออกอนบริเวณที่จะเจริญเป็นรากเปลี่ยนจากเดิมมีทิศออกเปลี่ยนเป็นมีทิศเข้าโดยคาดว่าการเปลี่ยนแปลงดังกล่าวเกิดจากการที่รากกำลังจะออกอกมาจากเอ็มบิโอด

สำหรับการศึกษาในราบทึช (ภาพประกอบ 5) Weisenseel และคณะ (1979) ได้วัดกราฟกระแสไฟฟ้าไออกอนที่ให้ผลผ่านรากและบนรากข้าวบาร์เลย์ พบว่ามีกราฟกระแสไฟฟ้าไออกอนเข้าสู่อ่อนาเจตหมู่ราก อ่อนาเจตเซลล์แบ่งตัว และอ่อนาเจตเซลล์ยึดตัวด้วยขนาด $0.8, 1.1$ และ 2.0 ไมโครแอมเปอร์ต่อตารางเซนติเมตรตามลำดับ และพบว่ากราฟกระแสไฟฟ้าไออกอนออกจากบริเวณอ่อนาเจตบนรากด้วยขนาด 0.5 ไมโครแอมเปอร์ต่อตารางเซนติเมตร



ภาพประกอบ 5 แสดงอณาเขตต่างๆ ของปลายราก (ภาพจาก Arnett และ Bazinet, 1977)

ในปี ค.ศ.1986 Miller และคณะ ได้ศึกษารูปแบบกราฟกระแสไฟฟ้าไอออนที่ไหลผ่านราก และรากของพืชตระกูลถั่ว (*Trifolium repens*. L.) ขณะกำลังเจริญเติบโต พบรูปแบบกราฟกระแสไฟฟ้าแตกต่างจากที่พบในข้าวบาร์เลย์ กระแตไฟฟ้าไอออนที่พบมี 3 กลุ่มคือ บริเวณหมวกราก จนถึงส่วนต้นของอณาเขตเซลล์ยีดตัวพบรูปกระแสไฟฟ้าไอออนทิศเข้าปริมาณมาก บริเวณอณาเขตเซลล์ยีดตัวจนถึงบริเวณที่กำลังพัฒนาเป็นชั้นรากพบรูปกระแสไฟฟ้าไอออนทิศออก และบริเวณอณาเขตชั้นรากพบรูปกระแสไฟฟ้าไอออนทิศเข้าปริมาณน้อย โดยที่ขนาดกระแสไฟฟ้าไอออนเฉลี่ยทิศเข้าอยู่ในช่วง 4.0-11.0 มิลลิแอมเปอร์ต่อตารางเมตร และขนาดกระแสไฟฟ้าไอออนทิศออก 4.0 มิลลิแอมเปอร์ต่อตารางเมตร

อีก 3 ปีต่อมา Miller (1989) ได้ศึกษาขนาดและรูปแบบกราฟกระแสไฟฟ้าไอออนรอบรากข้าวโพด (*Zea mays*) ซึ่งแตกต่างออกไปจากรูปแบบข้างต้น โดยพบว่ากระแสไฟฟ้าไอออนมีทิศเข้าสู่บริเวณปลายรากส่วนที่กำลังเจริญเติบโต คือบริเวณอณาเขตเซลล์แบ่งตัวและอณาเขตเซลล์ยีดตัว และพบรูปกระแสไฟฟ้าไอออนมีทิศออกบริเวณส่วนที่หยุดการเจริญเติบโต หรืออาจแบ่ง

รูปแบบกระแสไฟฟ้าไอออนรอบรากออกเป็น 3 กลุ่มคือ ปลายสุดของรากบริเวณหน่วยรากพบกระแสไฟฟ้าไอออนมีทิศออกบีรวมกันน้อย ตัดจากบริเวณหน่วยรากจนถึงสุดอาณาเขตเซลล์ยึดตัวพบกระแสไฟฟ้าไอออนมีทิศเข้าบีรวมมากที่สุด และบริเวณที่เซลล์มีการเจริญเติบโตเต็มที่แล้วพบกระแสไฟฟ้าไอออนมีทิศออกบีรวมมากกว่าบริเวณหน่วยราก

จะเห็นว่าในรากพืชต่างชนิดกันจะมีรูปแบบของกระแสไฟฟ้าแตกต่างกันนั้นเอง (Jaffe, 1985; Weisenseel et al., 1979; Miller et al., 1986; Miller, 1989; Ryan et al., 1992) ถึงแม้ในพืชชนิดเดียวกันรูปแบบกระแสไฟฟ้าอาจจะแตกต่างกันได้ เช่นกัน เช่นในรากทานตะวันในสภาวะแวดล้อมเดียวกันพบรูปแบบของกระแสไฟฟ้าหอยลายรูปแบบด้วยกัน (จุฬาภรณ์, 2544) โดยรูปแบบแรกเหมือนกับที่พบในข้าวบาร์เลย์ (Weisenseel, 1979) รูปแบบที่ 2 เมื่อนำที่พับในรากถั่ว (Miller, 1986) และมีอีกรูปแบบหนึ่งที่เหมือนกับในรากข้าวโพด (Miller, 1989) เมื่อพิจารณา รูปแบบกระแสไฟฟ้าไอออนในบริเวณต่างๆ ของรากพืชโดยรวม อาจกล่าวโดยสรุปได้ดังนี้ (ดูภาพประกอบ 5) บริเวณหน่วยราก (root cap) เป็นส่วนที่อยู่ปลายสุดของราก กลุ่มเซลล์มีลักษณะคล้ายหนามห้มอยู่ บริเวณนี้กระแสไฟฟ้าที่พบจะมีทิศเข้าและออก อาณาเขตเซลล์แบ่งตัว (region of cell division) หรืออาณาเขตเนื้อเยื่อเจริญ (meristematic region) ยาวประมาณ 1.0-1.5 มิลลิเมตร อยู่ด้านหลังหน่วยรากขึ้นมา มีการแบ่งตัวของเซลล์แบบไมโนติซิส (mitosis) ในบริเวณนี้กระแสไฟฟ้าจะมีทิศเข้าสู่ราก อาณาเขตเซลล์ยึดตัว (region of cell elongation) อยู่เหนือบริเวณเซลล์แบ่งตัว ยาวประมาณ 1.0-5.0 มิลลิเมตร เป็นบริเวณที่เซลล์มีการขยายตัวทางด้านยาวมากกว่าทางด้านกว้าง ส่วนใหญ่แล้วบริเวณนี้กระแสไฟฟ้าจะมีทิศเข้าด้วยบีรวมมากที่สุด ตัดไปเป็นอาณาเขตขนราก (region of root hair) เป็นอาณาเขตที่เซลล์มีการเจริญเติบโตเต็มที่รอบๆ รากจะมีขันเล็กๆ จำนวนมากเรียกว่า ขนราก บริเวณดังกล่าวกระแสไฟฟ้าจะมีทิศไม่แน่นอน

จากที่กล่าวมาแล้วพบว่า กระแสไฟฟ้าไอออนมีทิศเข้าบีรวมอาณาเขตเซลล์แบ่งตัว และอาณาเขตเซลล์ยึดตัว ซึ่งเป็นบริเวณที่พืชกำลังเจริญเติบโต ดังนั้นคาดว่ารูปแบบกระแสไฟฟ้าไอออนน่าจะมีส่วนช่วยในการเจริญเติบโตของพืช

นอกจากการศึกษากระแสไฟฟ้าในรากปกติแล้ว Meyer และ Weisenseel (1997) ได้ศึกษากระแสไฟฟ้าไอออนรอบรากข้าวโพด (*Zea mays*) ทั้งในสภาวะปกติและเมื่อรากข้าวโพดเกิดบาดแผล พบว่าในสภาวะปกติมีกระแสไฟฟ้าไอออนเข้าสู่บริเวณหน่วยรากและอาณาเขตเซลล์แบ่งตัวด้วยขนาด 1.5-1.7 ไมโครเมตรแบบต่อตารางเซนติเมตร และเข้าสู่อาณาเขตเซลล์ยึดตัวด้วยขนาดที่มากกว่าคือ 2.7 ไมโครเมตรแบบต่อตารางเซนติเมตร และกระแสไฟฟ้าไอออนมีทิศออกจากบริเวณอาณาเขตชนราก เมื่อบากรากข้าวโพดบริเวณอาณาเขตเซลล์ยึดตัว พบร่วมมีกระแสไฟฟ้า

ปริมาณมากพุ่งเข้าบริเวณบาดแผลด้วยขนาดมากกว่า 60 ไมโครแอมเปอร์ต่อตารางเซนติเมตร และค่อยๆ ลดขนาดลดลง ส่องช่วงโถงต่ำมากจะแสดงไฟฟ้าบริเวณบาดแผลลดลงเหลือ 2 ไมโครแอมเปอร์ต่อตารางเซนติเมตร และเปลี่ยนทิศจากเข้าเป็นออกคล้ายคลึงกับงานวิจัยของ Hush และ Overall (1989) ที่ศึกษากระแสไฟฟ้าไออกอนของราชถั่ว (*Pisum sativum L.*) พบว่าที่สภาวะปกติ กระแสไฟฟ้าไออกอนขนาด 1.0 ไมโครแอมเปอร์ต่อตารางเซนติเมตร มีทิศเข้าสู่อณาเขตเซลล์เป็นตัวและอณาเขตเซลล์ยึดตัว และกระแสไฟฟ้าไออกอนปริมาณน้อยขนาด 0.1 ไมโครแอมเปอร์ต่อตารางเซนติเมตรมีทิศออกจากบริเวณถัดมา เมื่อราชถูกบากห่างจากปลายราช 3 มิลลิเมตร พบว่า มีกระแสไฟฟ้าไออกอนปริมาณมากขนาด 10 ไมโครแอมเปอร์ต่อตารางเซนติเมตร ให้เข้าตรงบาดแผล และรูปแบบกระแสไฟฟ้าไออกอนเปลี่ยนแปลงไปจากสภาวะปกติ โดยคาดว่ากระแสไฟฟ้าไออกอนเหล่านี้จะมีส่วนเกี่ยวข้องกับการนำไออกอนต่างๆ เข้าสู่เซลล์เพื่อใช้ในการพัฒนาข้าวเซลล์ใหม่ และรักษาบาดแผล (Hush and Overall, 1989; Meyer and Weisenseel, 1997)

ในกรณีที่รากได้รับสารพิษ Ryan และคณะ (1992) ได้ศึกษาความล้มพันธุ์ระหว่าง กระแสไฟฟ้าไออกอน การเจริญเติบโตของราชและความเป็นพิษของอลูมิเนียมในราชข้าวสาลีพันธุ์ Scout 66 เมื่อวัดกระแสไฟฟ้าไออกอนตามความยาวราชในสภาวะปกติ พบว่ากระแสไฟฟ้าไออกอน มีทิศเข้าบริเวณ 2.0-3.0 มิลลิเมตรจากปลายราช และมีกระแสไฟฟ้าไออกอนสูงขึ้นปริมาณน้อยกว่า เมื่อออกจากบริเวณที่รากมีการเจริญเติบโตเต็มที่แล้ว เมื่อราชข้าวสาลีได้รับอลูมิเนียมความเข้มข้น 10 ไมโครโมลาร์ pH 4.5 เป็นเวลา 1-3 ชั่วโมงพบว่า อัตราภัยต่อของราชและกระแสไฟฟ้าไออกอนสูงขึ้นที่แหล่งเข้าเริ่มลดลง

1.2.3 ผลของสารพิษ

ในการเจริญเติบโตของพืชแต่ละชนิด ต้องอาศัยปัจจัยหลายๆ อย่างประกอบกัน เช่น สายพันธุ์ แร่ธาตุในดิน อุณหภูมิ ความชื้น ปริมาณแสง หรือความหนาแน่นของประชากร เป็นต้น นอกจากนี้การปนเปื้อนของโลหะหนักบางชนิดออกจากจะเป็นพิษต่อคนและสัตว์แล้ว ยังเป็นพิษต่อพืชด้วย ในกรณีศึกษาความเป็นพิษในพืชมีการศึกษาภัยต่อราชข้าวสาลี วิธีหนึ่งคือดูการเปลี่ยนแปลงของการเคลื่อนที่ของไออกอนในขณะที่มีสารพิษ เช่น Ryan และคณะ (1992) ได้ศึกษาผลของอลูมิเนียม (Al^{3+}) ที่มีต่อกระแสไฟฟ้าไออกอนและการยึดตัวของราชข้าวสาลี พบว่าหลังจากข้าวสาลีพันธุ์ Scout 66 ได้รับอลูมิเนียมเป็นเวลา 1-3 ชั่วโมง การยึดตัวของราชและการเคลื่อนที่ของ H^+ เข้าสู่ราชจะถูกยับยั้ง แต่ไม่พบผลตังกล่าวในข้าวสาลีพันธุ์ Altas 66 ซึ่งเป็นพันธุ์ที่ทนอลูมิเนียม เมื่อศึกษาลงในระดับเซลล์ของราชข้าวสาลี (*Triticum aestivum L.*) Ryan และคณะ (1997) วัดกระแสไฟฟ้าไออกอนของโปรตoplast (protoplast) จากเซลล์บริเวณปลายราชและ

เนื้อเยื่อของรากที่เจริญเติบโตเดิมที่แล้ว พบร่วมกับ Al^{3+} จะกระตุ้นแอนไอโอนชานเนล (anion channel) ทำให้เกิดการเคลื่อนที่ออกของไอโอนลบเพิ่มมากขึ้น โดยเฉพาะ Cl^- นั้นคือทำให้มีกระแสไฟฟ้าไอโอนเข้าสู่เซลล์มากขึ้น โดยพบว่าเซลล์ส่วนใหญ่จะตอบสนองทันทีหลังจากที่ได้รับ Al^{3+} แต่มีบางกรณีที่ต้องใช้เวลา 10-90 นาที การกระตุ้น anion channel นี้เกิดจาก Al^{3+} เท่านั้น เนื่องจากโลหะตัวราเดียมซึ่งเป็น La^{3+} ไม่สามารถทำให้เกิดการเปลี่ยนแปลงดังกล่าวได้

อลูมิเนียมออกจากการเคลื่อนที่ต่อไอโอนลบแล้วยังพบว่ามีผลต่อการเคลื่อนที่ของไอโอนบวกด้วย โดย Liu และ Luan (2001) ได้ศึกษาความเป็นพิษของอลูมิเนียมที่มีต่อพืช โดยศึกษากลไกของอลูมิเนียมในการยับยั้งการดูดซึมโพแทสเซียม (K^+) ผ่าน K^+ ชานเนล ขาเข้า (inward K^+ channel) ในชั้นรากและเซลล์คุม (guard cell) ของใบ พบว่าอลูมิเนียมจะไปขัดขวาง (block) K^+ ชานเนล โดยอลูมิเนียมที่เข้าสู่ไซโคลพลาสตีมผ่านทางชานเนลที่มีลักษณะคล้ายกับ Ca^{2+} ชานเนล (Ca^{2+} channel-like) และจะเกิดอันตรกิริยา กับโปรตีนในพลาสมามีผลเบรนที่ควบคุม K^+ ชานเนล ขาเข้า จากผลการทดลองพบว่าทันทีที่เซลล์ได้รับอลูมิเนียม อลูมิเนียมจะส่งผลยับยั้งการไหลเข้าของโพแทสเซียมอย่างชัดเจน แต่มีผลต่อการไหลออกของโพแทสเซียมเพียงเล็กน้อยและผลการยับยั้งที่ขึ้นอยู่กับความเข้มข้นของอลูมิเนียมด้วย ซึ่งการลดลงของ K^+ ที่เข้าสู่เซลล์น่าจะส่งผลต่อการเจริญเติบโต เนื่องจาก K^+ เป็นไอโอนที่สำคัญต่อการเจริญเติบโตของพืช (Arnett and Bazinet, 1977) นอกจากนี้ยังพบว่าอลูมิเนียมมีผลในการยับยั้งการเปิดของปากใบ (stomata) ด้วย (Liu and Luan, 2001) นอกจากนี้ Rout และคณะ (2001) พบว่าอลูมิเนียมจะขัดขวางการเคลื่อนที่ของ Ca^{2+} และ Mg^+ เข้าสู่เซลล์ และเห็นผลชัดเจนในบริเวณเนื้อเยื่อเจริญของพืช โดยเฉพาะเซลล์บริเวณปลายราก เนื่องจากอลูมิเนียมทำให้โครงสร้างและหน้าที่ของเยื่อหุ้มเซลล์เปลี่ยนแปลง ส่งผลกระทบต่อการแบ่งตัวและการหายใจของเซลล์

นอกจากในรากพืชแล้วยังพบว่า Al^{3+} จะมีผลต่อสาหร่ายบางชนิด ในปี ค.ศ. 1999 Takano และ Shimmen ได้ศึกษาความเป็นพิษของอลูมิเนียมที่มีต่อเซลล์สาหร่าย *Chara corallina* โดยพิจารณาผลของ Al^{3+} ที่มีต่อการเกิดอัลคาไลน์แบนด์ (alkaline band) ซึ่งเป็นลักษณะที่เกิดขึ้นตามปกติของสาหร่ายชนิดนี้ พบว่าหลังจากเซลล์สาหร่ายได้รับ Al^{3+} pH 4.5 Al^{3+} จะยับยั้งการไหลเข้าของ HCO_3^- โดย Al^{3+} มีผลยับยั้งการเกิดอัลคาไลน์แบนด์ จะเห็นว่าในพืชที่ต่างกัน Al^{3+} จะมีผลต่อไอโอนต่างชนิดกัน

นอกจากการศึกษาการเคลื่อนที่ของไอออนชนิดต่างๆ ระหว่างที่ได้รับสารพิษ วิธีนี้ที่ศึกษากันมากคือ ให้พืชได้รับสารพิษระยะหนึ่ง หลังจากนั้นจึงศึกษาว่าสารพิษได้ถูกขนส่งไปอยู่ในส่วนใดของพืชและมีผลอย่างไรต่อการเจริญเติบโต ดังตัวอย่างเช่น ในปี ค.ศ. 1997 Chakravarty และ Srivastava ได้ศึกษาผลของแคดเมียม (Cd^{2+}) และสังกะสี (Zn^{2+}) ที่มีต่อการดูดซึมน้ำและ การเจริญเติบโตของต้นกล้าจาก linseed พบว่าแคดเมียมจะถูกดูดซึมที่บริเวณรากมากกว่าสังกะสี และจะสะสมอยู่ภายในไซโตพลาสซึมมากกว่าในผนังเซลล์ ในขณะที่สังกะสีจะถูกขนส่งอย่างต่อเนื่องไปยังปลายยอดมากกว่าแคดเมียม และจะสะสมอยู่ภายในผนังเซลล์มากกว่าในไซโตพลาสซึม ในสภาวะที่มีหัวใจแคดเมียมและสังกะสีพบว่า สังกะสีจะขัดขวางการดูดซึมแคดเมียม และทำให้ความเป็นพิษของแคดเมียมลดน้อยลง นอกจากนี้ Vassilev และคณะ(1998) ได้ศึกษาการตอบสนองทางกายภาพของข้าวบาร์เลย์ (*Hordeum vulgare*) ต่อแคดเมียมที่ป่นเปื้อนในดินพบว่าเมื่อдинมีความเข้มข้นของแคดเมียม 45 มิลลิกรัม/กิโลกรัม ข้าวบาร์เลย์จะดูดซึมแคดเมียมเข้าสะสมอยู่ในส่วนต่างๆ ของพืช โดยที่บริเวณรากจะมีการสะสมของแคดเมียมมากกว่าส่วนอื่นประมาณ 10 เท่า และปริมาณการสะสมจะลดลงตามระยะห่างจากผิวดิน และมีผลยับยั้งการเจริญเติบโตของข้าวบาร์เลย์ โดยลดการสะสมมวลแห้งลง แต่แคดเมียมจะมีผลน้อยมากกับอัตราการสังเคราะห์แสงและไม่มีผลต่ออัตราการหายใจของข้าวบาร์เลย์ ในปีเดียวกัน Hart และคณะ (1998) ได้ศึกษากลไกการดูดซึม การขนถ่ายและการสะสมแคดเมียมในข้าวสาลี 2 สายพันธุ์คือ durum wheat (*Triticum turgidum L. var durum*) และ bread wheat (*Triticum aestivum L.*) พบว่าเมื่อข้าวสาลีได้รับแคดเมียม แคดเมียมจะถูกดูดซึมโดยราก จากนั้นໄที่เดิมจะขนถ่ายแคดเมียมไปสะสมยังปลายยอด โดยที่แคดเมียมจะจับตัวกับองค์ประกอบของผนังเซลล์ (เซลลูโลส เอมิเซลลูโลส และโปรตีน) ปริมาณแคดเมียมที่สะสมในสายพันธุ์ bread wheat มีมากกว่าสายพันธุ์ durum wheat การสะสมแคดเมียมในทั้งสองสายพันธุ์นี้อยู่กับเวลาโดยมีความสัมพันธ์เป็นแบบเชิงเส้นอยู่ในช่วง 75 นาทีแรกและหลังจาก 4 ชั่วโมงผ่านไปอัตราการสะสมจะลดลงเรื่อยๆ แต่การสะสมยังเกิดขึ้นอย่างต่อเนื่อง

นอกจากแคดเมียมแล้วสารพิษชนิดหนึ่งที่ศึกษากันมากคือ อาร์เซนิก ในปี ค.ศ. 1997 Carbonell-Barrachina และคณะ ได้ศึกษาอิทธิพลของอาร์เซนิท (arsenite, As^{3+}) ในสารละลายภายนอกรากที่มีต่อการสะสมอาร์เซนิกในมะเขือเทศ (*Lycopersicum esculentum Mill.*) และถั่ว (*Phaseolus vulgaris L.*) โดยศึกษากระบวนการดูดซึมและสะสมอาร์เซนิกในราก ลำต้น ใบและผลของมะเขือเทศและถั่วเมื่อได้รับอาร์เซนิกความเข้มข้น 0, 2, 5 และ 10 มิลลิกรัมต่อลิตร พบว่า อาร์เซนิกจะเป็นพิษต่อพืชทั้งสองชนิด โดยการเจริญเติบโตของมะเขือเทศและถั่วได้รับผลกระทบ

จากการชิโนกอย่างมีนัยสำคัญ และพบว่ามะเขือเทศมีความทนทานต่อพิษของอาร์ซินิกมากกว่าถ้าโดยถัวจะด้วยหลังจากได้รับอาร์ซินิก 10 มิลลิกรัมต่อสิตรีบเป็นเวลา 36 วัน ความเป็นพิษที่พับในมะเขือเทศคือ ทำให้มวลแห้งลดลง และมะเขือเทศจะมีกลไกในการลดความเป็นพิษของอาร์ซินิกคือ จำกัดการขันถ่ายอาร์ซินิกไปสู่ปลายยอด โดยการเพิ่มการสะสมอาร์ซินิกไว้ที่ระบบหากแทนในรากของมะเขือเทศอาร์ซินิกจะมีผลน้อยมากต่อการเจริญเติบโตและลดกระบวนการเผาผลาญอาหารภายในเซลล์ ในถัวจะมีการดูดซึมและขันถ่ายอาร์ซินิกไปยังปลายยอด และสะสมไว้บริเวณใบในปริมาณมาก ในปีต่อมา Carbonell-Barrachina และคณะ (1998) ได้ศึกษาการดูดซึมความเป็นพิษและผลกระทบของอาร์ซินิกที่มีต่อการเจริญเติบโตและปริมาณสารอาหารในหญ้า (*Spartina alterniflora*) โดยใช้สารประกอบของอาร์ซินิกในรูปของ อาร์ซินิท (As^{3+}) อาร์ซิเนท (As^{5+}) กรดโมโนเมทธิลอาร์ซินิก (monomethyl arsonic acid, MMAA) และกรดไดเมทธิลอาร์ซินิก (dimethyl arsonic acid, DMAA) ที่ความเข้มข้น 0, 0.2, 0.8 และ 2.0 มิลลิกรัมต่อสิตรีบพบว่ากรดโมโนเมทธิลอาร์ซินิก มีความเป็นพิษมากที่สุด โดยจะไปลดการดูดซึมสารอาหารที่จำเป็นหลายชนิด (ฟอสฟอรัส, โพแทสเซียม, แคลเซียม, แมกนีเซียม, บอรอน, ทองแดง, เหล็ก) และเมื่อไม่พิจารณาชนิดของสารประกอบ อาร์ซินิกความเข้มข้น 0.2 มิลลิกรัมต่อสิตรีบจะไม่เป็นพิษต่อหญ้า (ไม่มีผลยับยั้งการเจริญเติบโตหรือรบกวนการดูดซึมสารอาหาร) แต่สารประกอบอนินทรีย์ของอาร์ซินิกความเข้มข้นดังกล่าวจะช่วยเพิ่มการสร้างมวลแห้งในหญ้า การสะสมอาร์ซินิกในรากและปลายยอดจะเพิ่มขึ้นตามความเข้มข้นของอาร์ซินิก โดยสารประกอบอนินทรีย์ของอาร์ซินิกและกรดโมโนเมทธิลอาร์ซินิก ส่วนใหญ่จะสะสมในราก ในขณะที่กรดไดเมทธิลอาร์ซินิกจะขันถ่ายไปยังปลายยอด นอกจากนี้ชั้นดินของสารประกอบและความเข้มข้นของอาร์ซินิกจะมีผลอย่างมีนัยสำคัญต่อการดูดซึมสารอาหาร ได้แก่ As^{5+} มีส่วนช่วยในการเจริญเติบโตโดยช่วยเพิ่มความเข้มข้นของฟอสฟอรัสในพืช สารประกอบอนินทรีย์ของอาร์ซินิกจะเพิ่มความเข้มข้นของโซเดียมในรากและรวมทั้งจะทำให้ความเข้มข้นของโพแทสเซียมลดลง และจะมีผลเพิ่มความเข้มข้นของแคลเซียมในใบ ในขณะที่สารประกอบอนินทรีย์ของอาร์ซินิกจะเพิ่มความเข้มข้นของบอรอนในรากและความเข้มข้นของทองแดงทั้งในรากและปลายยอด

จากที่กล่าวมาจะเห็นว่าการเกิดพิษเนื่องจากสารต่างๆ จะเริ่มจากการที่รากดูดซึมสารพิษเข้าไป และ/หรือการที่สารพิษมีผลต่อการเคลื่อนที่ของไอออนชนิดต่างๆ ซึ่งคาดว่าจะทำให้รูปแบบของกระเสไฟฟ้าไอออนเปลี่ยนแปลงไปจากเดิม หากทราบความล้มเหลวที่ร่วงรูปแบบกระเสไฟฟ้าไอออนกับการเจริญเติบโตชนิดและปริมาณสารพิษที่ได้รับ อาจใช้รูปแบบกระเสไฟฟ้าไอออนเป็นตัวบ่งบอกความเป็นพิษในสิ่งแวดล้อมได้

งานวิจัยนี้จึงเลือกศึกษาผลของสารพิษต่อรูปแบบกราฟเฝ้าไอโอดินรอบๆ รากท่านตะวัน (*sunflower*) *Helianthus annuus* Linn. เนื่องจากบัจจุบันท่านตะวันเป็นพืชเศรษฐกิจในประเทศไทย มีพื้นที่เพาะปลูกประมาณ 400,000- 500,000 ไร่ (กลุ่มพืชชั้นมัน, 2542) โดยคาดว่าข้อมูลจากการวิจัยอาจบอกถึงความสัมพันธ์ระหว่างสารพิษกับการเจริญเติบโตและรูปแบบกราฟเฝ้าไอโอดินของรากท่านตะวัน ซึ่งเป็นข้อมูลพื้นฐานและอาจใช้เป็นตัวบ่งชี้ทางชีวิทยา (bioindicator) ในสิ่งแวดล้อมต่อไป

1.3 วัตถุประสงค์

- ศึกษาเบรียบเทียบรูปแบบของกราฟเฝ้าไอโอดินรอบๆ รากท่านตะวัน ในสภาวะปกติ และในสภาวะที่รากท่านตะวันได้รับสารที่เป็นพิษต่อการเจริญเติบโต เช่น อุดมเนียม
- ศึกษาผลของปริมาณสารเป็นพิษต่อการเกิดกราฟเฝ้าไอโอดิน

1.4 ประโยชน์ที่ได้รับจากการวิจัย

- ทราบรูปแบบของกราฟเฝ้าไอโอดินรอบๆ รากท่านตะวัน เมื่อได้รับสารเป็นพิษเทียบกับ สภาวะปกติ
- ทราบผลของปริมาณสารพิษต่อการเกิดกราฟเฝ้าไอโอดินและต่อการเจริญเติบโตของ รากท่านตะวัน
- เป็นข้อมูลพื้นฐานในการพัฒนาทางการเกษตรฯ

1.5 ขอบเขตและวิธีดำเนินการ

- หาสภาวะที่เหมาะสมในการเพาะเมล็ดท่านตะวันให้ได้รากที่เหมาะสมต่อการวัดกราฟเฝ้า ไอโอดิน
- ศึกษารูปแบบของกราฟเฝ้าไอโอดินรอบๆ รากท่านตะวันในสภาวะปกติ
- ศึกษารูปแบบของกราฟเฝ้าไอโอดินรอบๆ รากท่านตะวันที่ได้รับสารพิษ
- ศึกษาผลของปริมาณสารพิษต่อการเกิดกราฟเฝ้าไอโอดิน
- สรุปผลการทดลอง